

# Etude du système d'Euler bi-température avec champ magnétique transverse

Xavier Lhébrard<sup>1</sup>, Stéphane Brull<sup>2</sup>, Bruno Dubroca<sup>3</sup>,

<sup>1</sup>*LMPA, Université du Littoral et de la Côte d'Opale*

<sup>2</sup>*IMB, Université de Bordeaux*

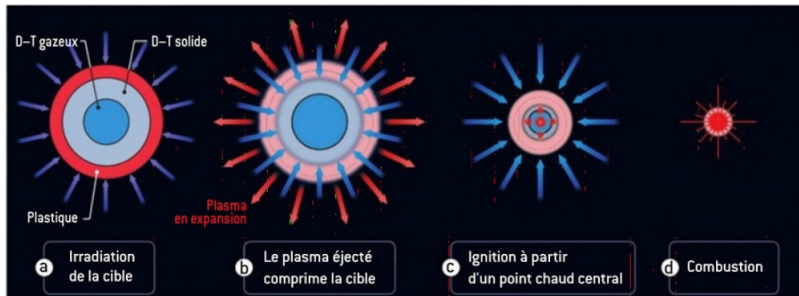
<sup>3</sup>*LCTS, Université de Bordeaux*

Schémas de type Boltzmann  
23 novembre 2022

# Introduction

# Introduction

Travail au Centre de Lasers Intenses et Applications (CELIA).  
Diagnostics pour le **Laser Megajoule** (CEA).  
Application : **Fusion par confinement inertiel**.



## Transport thermique des électrons

Système Euler bi-température

- Approche classique  
Coquel, Marmignon, 1998.

- Nouvelle approche  
Aregba, Brull et al. , 2017

Modèle cinétique sous-jacent avec champs électrique

## Prise en compte de champ magnétiques ?

Polarisation transverse magnétique

$$E = \begin{pmatrix} E_1 \\ E_2 \\ 0 \end{pmatrix}, \quad B = \begin{pmatrix} 0 \\ 0 \\ B_3 \end{pmatrix}$$

# Elaboration du modèle

# Cas d'une espèce

$f(t, x, v)$  : fonction de distribution

$$\underbrace{\frac{\partial f}{\partial t} + v \cdot \nabla_x f}_{\text{transport}} + \underbrace{F \cdot \nabla_v f}_{\text{force term}} = \underbrace{C(f, f)}_{\text{collisional term}}$$

$\rho, u, T$  : masse, vitesse et température

$$\rho = \int_{\mathbb{R}^3} m f dv, \quad u = \frac{1}{\rho} \int_{\mathbb{R}^3} m v f dv, \quad \frac{3}{2} k_B T = \frac{1}{\rho} \int_{\mathbb{R}^3} |v - u|^2 f dv.$$

Obtention de modèles fluides.

- Etat d'équilibre :  $C(f, f) = 0 \Leftrightarrow f = \mathcal{M}_f$
- $f = \mathcal{M}_f$  et prendre les moments de l'équation par rapport à  $(1, v, v^2)$   
⇒ système **Euler**
- $f = \mathcal{M}_f + \varepsilon f_1$  et prendre les moments de l'équation par rapport à  $(1, v, v^2)$   
⇒ système **Navier-Stokes**

# Cas plusieurs espèces

Mélange d'une espèce d'ions et d'une espèce d'électron.

Espèce  $\alpha$ .  $f_\alpha$  : fonction de distribution de l'espèce  $\alpha$

$$n_\alpha = \int_{\mathbb{R}^3} f_\alpha dv, \quad u_\alpha = \frac{1}{n_\alpha} \int_{\mathbb{R}^3} v f_\alpha dv,$$
$$\mathcal{E}_\alpha = \frac{3}{2} \rho_\alpha \frac{k_B}{m_\alpha} T_\alpha + \frac{1}{2} \rho_\alpha |u_\alpha|^2 = \int_{\mathbb{R}^3} m_\alpha \frac{v^2}{2} f_\alpha dv.$$

Quantités associées au mélange

$$\mathbf{u} = \frac{\rho_e \mathbf{u}_e + \rho_i \mathbf{u}_i}{\rho_e + \rho_i}, \quad \frac{3}{2} n k_B T = \sum_\alpha \frac{1}{2} \rho_\alpha (u_\alpha^2 - u^2) + \frac{3}{2} \sum_\alpha n_\alpha k_B T_\alpha.$$

$$\bar{\rho} = \int_{\mathbb{R}^3} (q_e f_e + q_i f_i) dv = n_e q_e + n_i q_i,$$

$$\mathbf{j} = \int_{\mathbb{R}^3} v (q_e f_e + q_i f_i) dv = n_e q_e \mathbf{u}_e + n_i q_i \mathbf{u}_i$$

# Modèle cinétique plusieurs espèces

BGK pour l'espèce  $\alpha = e, i$

$$\begin{aligned}\partial_t f_\alpha + v_1 \partial_{x_1} f_\alpha + \frac{q_\alpha}{m_\alpha} (E_1 + B_3 v_2) \frac{\partial f_\alpha}{\partial v_1} + \frac{q_\alpha}{m_\alpha} (E_2 - B_3 v_1) \frac{\partial f_\alpha}{\partial v_2} \\ = \frac{1}{\varepsilon} (\mathcal{M}_\alpha - f_\alpha) + \frac{1}{\tau_{\alpha\beta}} (\overline{\mathcal{M}_{\alpha\beta}} - f_\alpha).\end{aligned}$$

$$\mathcal{M}_\alpha(f_\alpha) = \frac{n_\alpha}{(2\pi k_B T_\alpha / m_\alpha)^{3/2}} \exp\left(-\frac{|v - u_\alpha|^2}{2k_B T_\alpha / m_\alpha}\right)$$

$$\overline{\mathcal{M}_\alpha}(f_e, f_i) = \frac{n_\alpha}{(2\pi k_B T / m_\alpha)^{3/2}} \exp\left(-\frac{|v - u|^2}{2k_B T / m_\alpha}\right)$$

Couplage avec les équations de Maxwell

$$\begin{cases} \partial_x E_1 = \frac{\bar{\rho}}{\varepsilon^2}, & \partial_t E_1 = -\frac{j_1}{\varepsilon^2}, \\ \partial_t B_3 + \partial_x E_2 = 0, & \partial_t E_2 + \frac{1}{\varepsilon^2} \partial_x B_3 = -\frac{j_2}{\varepsilon^2}, \end{cases}$$



On choisit  $f_\alpha = \mathcal{M}_\alpha$  et on prend les moments de l'équation par rapport à  $(1, v, v^2)$ .

Limite quasi-neutre pour les équations de Maxwell

$$q = 0, \quad j_1 = 0, \quad j_2 = -\partial_x B_3$$

Difficulté pour les moments d'ordre 2 :

$$\partial_t \mathcal{E}_\alpha + \partial_x (u_1 (\mathcal{E}_\alpha + p_\alpha)) + q_\alpha n_\alpha (u_1 E_1 + u_{2,\alpha} E_2) = S_{\alpha\beta}.$$

Fermeture du système ? Loi d'Ohm généralisée

$$q_e n_e (E_1 + u_2 B_3) = c_i \partial_x p_e - c_e \partial_x p_i + (c_i - c_e) \partial_x (B_3^2 / 2),$$

$$E_2 = B_3 u_1,$$

Résultat : Le système cinétique **converge formellement** vers le système d'équations suivant :

$$\left\{ \begin{array}{l} \partial_t \rho \quad + \partial_x(\rho u_1) = 0, \\ \partial_t(\rho u_1) \quad + \partial_x(\rho u_1^2 + p_e + p_i + B_3^2/2) = 0, \\ \partial_t(\rho u_2) \quad + \partial_x(\rho u_1 u_2) = 0, \\ \partial_t B_3 \quad + \partial_x(u_1 B_3) = 0, \\ \partial_t \overline{\mathcal{E}}_e \quad + \partial_x(u_1(\overline{\mathcal{E}}_e + p_e + c_e B_3^2/2)) - u_1(c_i \partial_x p_e - c_e \partial_x p_i) = S_{ei}, \\ \partial_t \overline{\mathcal{E}}_i \quad + \partial_x(u_1(\overline{\mathcal{E}}_i + p_i + c_i B_3^2/2)) + u_1(c_i \partial_x p_e - c_e \partial_x p_i) = -S_{ei}, \end{array} \right.$$

Deux lois de pression et deux températures :

$$p_\alpha = (\gamma_\alpha - 1) \rho_\alpha \varepsilon_\alpha = n_\alpha k_B T_\alpha, \quad \alpha = e, i.$$

Système **non conservatif** avec sources.

Systemes conservatifs :

- existence de solutions discontinues (ondes de choc)
- relations de Rankine Hugoniot
- solution admissible  $\longleftrightarrow$  **inégalité d'entropie**

Systemes non-conservatifs :

- **Définition** des solutions faibles ?
- **Admissibilité** des solutions faibles ? Conditions d'entropie ?
- **Approximation** numérique ?

Résultat :

- Schéma **robuste** et satisfaisant une **inégalité d'entropie**

# Méthode numérique

# Schéma de type Godunov

Forme condensée

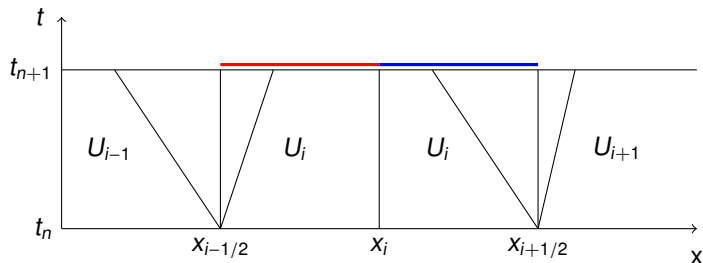
$$\partial_t U + \partial_x F(U) + B(U) \partial_x U = 0.$$

Discrétisation **constante par maille**

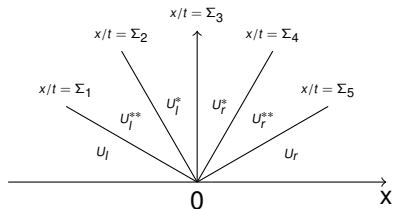
$$U_i^n \simeq \frac{1}{\Delta x} \int_{C_i} U(t_n, x) dx.$$

On note  $R(\xi, U_l, U_r)$  un solveur de Riemann approché.

$$U_i^{n+1} = \frac{1}{\Delta x} \int_0^{\Delta x/2} R(x/\Delta t, U_{i-1}, U_i) + \frac{1}{\Delta x} \int_{-\Delta x/2}^0 R(x/\Delta t, U_i, U_{i+1})$$



# Schéma de type Godunov



Solveur simple :

$$R(x/t, U_l, U_r) = \begin{cases} U_l & \text{if } x/t < \Sigma_1 \\ U_i & \text{if } \Sigma_i < x/t < \Sigma_{i+1} \\ U_r & \text{if } \Sigma_5 < x/t \end{cases}$$

Condition CFL 1/2

$$A(U_i, U_{i+1}) \Delta t \leq \frac{1}{2} \Delta x, \quad \forall i$$

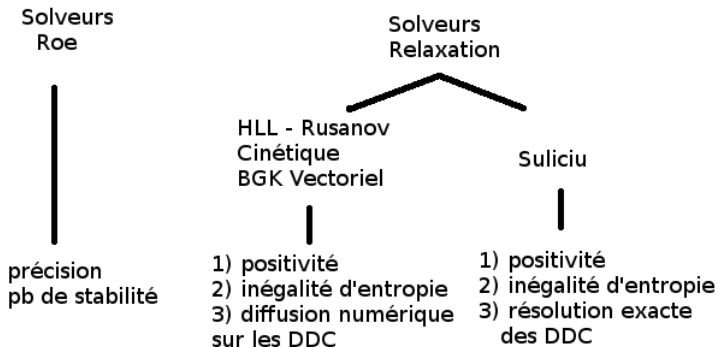
Avec  $A(., .)$  la vitesse maximale de propagation définie par :

$$A(U_l, U_r) = \max(|\Sigma_1|, \dots, |\Sigma_p|),$$

où  $\Sigma_1, \dots, \Sigma_p$  sont les vitesses du solveur de Riemann.

# Schéma de type Godunov

Différents type de solveurs de Riemann approchés



$$\partial_t u + \partial_x F(u) = 0, \quad t \in \mathbb{R}, x \in \mathbb{R},$$

$$u(t, x) \in \mathbb{R}^p, \quad F(u(t, x)) \in \mathbb{R}^p$$

- Solutions bornées mais discontinues,
- Les non-linéarités de  $F$  induisent une non-unicité des solutions.

## Idées de relaxation

- Construire une solution comme limite  $u(t, x) = \lim u_\varepsilon(t, x)$ ,  
 $u_\varepsilon(t, x) = Lf_\varepsilon(t, x)$ , obtenue à partir de solutions  $f_\varepsilon$  d'un autre système (plus simple) de lois de conservations,
- Cette solution  $f_\varepsilon(t, x)$  est forcée, par un système de relaxation, de rester dans une variété d'équilibre  $f_\varepsilon(t, x) \in \mathcal{M}$
- Cette variété  $\mathcal{M}$  peut être paramétrisée par  $u \equiv Lf$ , i.e. on a

$$f \in \mathcal{M} \text{ sssi } f = M(u), \quad \text{and} \quad LM(u) = u.$$



# Exemple : modèle Jin Xin

Le modèle le plus simple ( $\varepsilon$  ommis) :

$$\begin{aligned}\partial_t f_1 - c \partial_x f_1 &= \frac{M_1(u) - f_1}{\varepsilon}, \\ \partial_t f_2 - c \partial_x f_2 &= \frac{M_2(u) - f_2}{\varepsilon},\end{aligned}$$

avec  $f(t, x) = (f_1(t, x), f_2(t, x)) \in \mathbb{R}^p \times \mathbb{R}^p$ ,  $u(t, x) = Lf(t, x)$ ,  $c > 0$ ,

$$M(u) = \left( \frac{Lf = f_1 + f_2}{2}, \frac{u - F(u)/c}{2}, \frac{u + F(u)/c}{2} \right)$$

- On a  $\partial_t u + c \partial_x (f_2 - f_1) = 0$ ,
- Le second membre impose  $f - M(u) \rightarrow 0$ , i.e.  $f \rightarrow M(u)$ , donc  $c(f_2 - f_1) \simeq c(M_2(u) - M_1(u)) = F(u)$ .

Cadre général :

$$\partial_t f + \partial_x \mathcal{A}(f) = \frac{Q(f)}{\varepsilon}$$

$$f(t, x) \in \mathbb{R}^q, q > p, \quad L : \mathbb{R}^q \rightarrow \mathbb{R}^p \text{ linéaire}$$

L'équilibre maxwellien vérifie les relations de c

$$\begin{aligned} LM(u) &= u, \\ L\mathcal{A}(M(u)) &= F(u) \end{aligned}$$

$$\begin{aligned} LQ(f) &= 0, \\ Q(f) = 0 \quad \text{ssi} \quad f &= M(u) \end{aligned}$$

*Exemple* : relaxation BGK terme de relaxation  $Q(f) = M(Lf) - f$ .

# Modèles de relaxation cinétique

- L'espace  $\mathbb{R}^q = (\mathbb{R}^p)^\Theta$  est un espace de fonctions,  $f = f(\xi)$ ,  $\xi \in \Theta$ , avec  $\xi \in \Theta$  avec un espace mesurable de mesure positive  $d\xi$ .
- La non-linéarité est  $\mathcal{A}(f)(\xi) = a(\xi)f(\xi)$  pour une certaine fonction  $a(\xi) \in \mathbb{R}$ ,
- L'opérateur linéaire est  $Lf = \int_{\Theta} f(\xi)d\xi$ ,
- La maxwellienne devient  $M(u) = M(u, \xi)$ , et les relations de consistances :

$$\int M(u, \xi)d\xi = u, \quad \int a(\xi)M(u, \xi)d\xi = F(u).$$

Commentaires :

- Ce sont des modèles de type semi-linéaires diagonaux, potentiellement de dimension infinie,
- Ces modèles interviennent naturellement en théorie cinétique des gaz, comme l'équation de Boltzmann.

Comment justifier la limite de relaxation  $\varepsilon \rightarrow 0$  ?

- Quand la limite  $u$  est **régulière** (dans un espace de Sobolev).  
*Méthode* : **méthode d'entropie relative** pour estimer la distance à la solution limite  
N. Masmoudi, *Some recent developments on the hydrodynamic limit of the Boltzmann equation*, 2002.
- Lorsque l'équation limite n'est **pas trop fortement non linéaire** (ex. Navier-Stokes, avec viscosité)  
*Méthode* : contrôler la **compacité** et la **taille** de la solution  
F. Golse, L. Saint-Raymond, *The Navier-Stokes limit of the Boltzmann equation for bounded collision kernels*, 2004.
- Lorsque la limite  $u$  est une **solution faible discontinue**.  
*Méthode* : obtenir des bornes  $L^\infty$  sur la solution, et obtenir **compacité** (estimations BV, compacité compensée).  
F. Berthelin, F. Bouchut, *Kinetic invariant domains and relaxation limit from a BGK model to isentropic gas dynamics*, 2002.

L'idée est d'écrire des conditions nécessaires/suffisantes pour que la limite de relaxation soit assurée.

*Exemple* : Pour le modèle de Jin-Xin, une condition de stabilité est la condition sous-caractéristique

$$\text{Sp}(F'(u)) \subset [-c, c]$$

Plusieurs conditions de stabilité existent. Nous allons nous concentrer sur deux conditions :

- la condition d'**entropie étendue** (CEE)
- la condition de **dissipation de Chapman-Enskog** (DCE)

La notion d'entropie est utilisée pour les lois de conservation hyperboliques pour

- sélectionner les solutions admissibles (Lax)
- établir des estimations a priori
- prouver compacité (DiPerna)

Pour la loi de conservation

$$\partial_t u + \partial_x F(u) = 0$$

une *entropie* est une fonction scalaire  $\eta(u)$ , elle qu'il existe une fonction scalaire  $G(u)$ , appelée flux d'entropie, satisfaisant

$$G'(u) = \eta'(u)F'(u)$$

*Intérêt* : les solutions régulières satisfont  $\partial_t \eta(u) + \partial_x G(u) = 0$ .

Si  $\eta$  est une entropie convexe, une solution faible est dite entropique si

$$\partial_t \eta(u) + \partial_x G(u) \leq 0.$$

# Systèmes de relaxation : condition d'entropie étendue (CEE)

Cette condition a été donné dans

G.Q. Chen, C.D. Levermore, T.-P. Liu, *Hyperbolic conservation laws with stiff relaxation terms and entropy*, 1994.

Levermore, Liu, 1994]. Cadre relaxation hyperbolique

$$\partial_t u + \partial_x F(u) = 0, \quad \partial_t f + \partial_x \mathcal{A}(f) = Q(f)/\varepsilon.$$

*Définition* : Étant donné une entropie convexe  $\eta$ , on dit que (CEE) est vraie si il existe une entropie convexe  $\mathcal{H}(f)$  avec flux d'entropie  $\mathcal{G}(f)$ , tels que

$$\begin{aligned}\mathcal{H}(M(u)) &= \eta(u) + cst, \\ \mathcal{G}(M(u)) &= G(u) + cst,\end{aligned}$$

et tel qu'on ait le principe de minimisation

$$\mathcal{H}(M(u)) \leq \mathcal{H}(f) \quad \text{dès que } u = Lf.$$

# Dissipation de Chapman-Enskog (DCE)

Cadre relaxation hyperbolique

$$\partial_t u + \partial_x F(u) = 0, \quad \partial_t f_\varepsilon + \partial_x \mathcal{A}(f_\varepsilon) = Q(f_\varepsilon)/\varepsilon.$$

avec une relaxation de type BGK  $Q(f_\varepsilon) = M(Lf_\varepsilon) - f_\varepsilon$ . Alors, formellement, avec  $u_\varepsilon = Lf_\varepsilon$ ,

$$\partial_t u_\varepsilon + \partial_x F(u_\varepsilon) = \partial_x (D(u_\varepsilon) \partial_x u_\varepsilon), \quad (1)$$

jusqu'au termes en  $\varepsilon^2$ , avec

$$D(u) = L\mathcal{A}'(M(u))^2 M'(u) - F'(u)^2$$

*Définition* Soit  $\eta$  une entropie convexe. On dit que (DCE) est vraie si (1) est  $\eta$ -dissipative, i.e.  $D(u)$  est symétriquement positive pour  $\eta''(u)$ . Cela implique que

$$\partial_t \eta(u) + \partial_x G(u) - \varepsilon \partial_x (\eta'(u) D(u) \partial_x u) = -\varepsilon D(u)^t \eta''(u) \cdot \partial_x u \cdot \partial_x u \leq 0$$

**Commentaire :**

entropie étendue (CEE)  $\Rightarrow$  Chapman-Enskog (DCE)



L'approche par relaxation permet de construire des **schémas numériques** pour les lois de conservations  $\partial_t u + \partial_x F(u) = 0$ , par une approche de **transport-projection**. On peut la résumer de la manière suivante :

- On commence avec  $u^n(x)$  constant par morceaux,
- On définit  $f^n(x) = M(u^n(x))$ , qui est constant par morceaux,
- On résout le problème de relaxation  $\partial_t f + \partial_x \mathcal{A}(f) = 0$  pour  $t^n < t < t^{n+1}$
- On définit  $u^{n+1}(x)$  par des projections constantes par morceaux de  $Lf(t^{n+1}, x)$

Quelques commentaires sur ce type de schémas

- On construit un **solveur de Riemann approché**, qui génère un schéma conservatif de type volumes finis
- En particulier, les modèles cinétiques de relaxation génèrent des **schémas cinétiques**,
- Si la condition d'entropie étendue (CEE) est satisfaite, alors le schéma numérique sera **stable**, sous condition CFL, il satisfera une **inégalité d'entropie discrète**.

# Solveur de Riemann approché par relaxation

Système de lois de conservation

$$\partial_t U + \partial_x F(U) = 0, \quad p \text{ variables.}$$

Système de relaxation

$$\partial_t f + \partial_x \mathcal{A}(f) = \frac{Q(f)}{\varepsilon}, \quad q > p \text{ variables.}$$

$$LM(U) = U$$

$$L\mathcal{A}(M(U)) = F(U)$$

Solveur de Riemann approché pour le système de relaxation

$$\mathcal{R}(x/t, f_l, f_r)$$

Solveur de Riemann approché pour le système de lois de conservation

$$R(x/t, U_l, U_r) = L \mathcal{R}(x/t, M(U_l), M(U_r)).$$

# Exemple de système de relaxation LD

Système d'Euler isentropique

$$U = \begin{pmatrix} \rho \\ \rho u \end{pmatrix}, \quad F(U) = \begin{pmatrix} \rho u \\ \rho u^2 + P \end{pmatrix}$$

Système de relaxation Suliciu

$$f = \begin{pmatrix} \rho \\ \rho u \\ \rho \pi \end{pmatrix}, \quad \mathcal{A}(f) = \begin{pmatrix} \rho u \\ \rho u^2 + \pi \\ \rho \pi u + c^2 u \end{pmatrix}$$

$$L \begin{pmatrix} x_1 \\ x_2 \\ x_3 \end{pmatrix} = \begin{pmatrix} x_1 \\ x_2 \end{pmatrix} \quad M(U) = \begin{pmatrix} \rho \\ \rho u \\ \rho P \end{pmatrix}$$

On vérifie que

$$LM(U) = U$$

$$L\mathcal{A}(M(U)) = F(U)$$

# Problème de Riemann pour des systèmes LD

On considère un système hyperbolique

$$\partial_t U + \partial_x(F(U)) = 0.$$

Soit  $\lambda(U)$  une valeur propre de  $F'(U)$  and  $E_\lambda(U) := \text{Ker}(F'(U) - \lambda(U)Id)$ .

$\lambda(U)$  est **linéairement dégénérée** (LD)  $\iff \forall U, \forall r \in E_\lambda(U), \partial_U \lambda(U).r = 0$

$w(U)$  est un **invariant de Riemann**  $\iff \forall U, \forall r \in E_\lambda(U), \partial_U w(U).r = 0$

Si  $U_1, U_2$  sont reliés par une **discontinuité de contact** alors  $w(U_1) = w(U_2)$

Solution du problème de Riemann pour des **systèmes LD**  $\rightarrow$  uniquement des **discontinuité de contact**.

relations de **Rankine Hugoniot**  $\iff$  **invariants de Riemann**

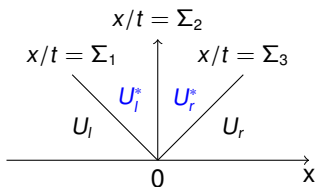
# Exemple de système LD : un système diagonal

$$W = (w_1, w_2, w_3) \in \mathbb{R}^3, \quad \partial_t W + D \partial_x W = 0$$

$$\partial_t w_1 + \Sigma_1 \partial_x w_1 = 0,$$

$$\partial_t w_2 + \Sigma_2 \partial_x w_2 = 0,$$

$$\partial_t w_3 + \Sigma_3 \partial_x w_3 = 0.$$



$$U_l = \begin{pmatrix} w_{1,l} \\ w_{2,l} \\ w_{3,l} \end{pmatrix}, \quad U_l^* = \begin{pmatrix} w_{1,r} \\ w_{1,l} \\ w_{1,l} \end{pmatrix}, \quad U_r^* = \begin{pmatrix} w_{1,r} \\ w_{2,r} \\ w_{3,l} \end{pmatrix}, \quad U_r = \begin{pmatrix} w_{1,r} \\ w_{2,r} \\ w_{3,r} \end{pmatrix}$$

Valeurs propres    Mult.    Invariants de Riemann

$\lambda_1$                     1             $w_2, w_3$

$\lambda_2$                     1             $w_1, w_3$

$\lambda_3$                     1             $w_1, w_2$

# Autre système LD : relaxation de type Suliciu

Système d'Euler isentropique

$$\begin{aligned}\partial_t \rho + \partial_x(\rho u) &= 0, \\ \partial_t \rho u + \partial_x(\rho u^2 + p) &= 0.\end{aligned}$$

Équation sur  $\rho p$

$$\partial_t \rho p + \partial_x(\rho p u) + \rho^2 p'(\rho) \partial_x u = 0,$$

Système non linéairement dégénéré

$$u - \sqrt{p'(\rho)} \quad ; \quad u + \sqrt{p'(\rho)}$$

Système de relaxation

Nouvelle variable  $\pi$

$$\begin{aligned}\partial_t \rho + \partial_x(\rho u) &= 0, \\ \partial_t \rho u + \partial_x(\rho u^2 + \pi) &= 0\end{aligned}$$

Définition de  $\pi$

$$\partial_t \rho \pi + \partial_x(\rho p u) + c^2 \partial_x u = 0,$$

Système linéairement dégénéré

$$u - \sqrt{\rho^{-2} c^2} \quad ; \quad u + \sqrt{\rho^{-2} c^2}$$

# Résolution pb de Riemann

$$V = (\rho, u, \pi) \in \mathbb{R}^3$$

V. P.	Mult.	Invariants de Riemann
$\lambda_1 = u_l - \frac{a_l}{\rho_l}$	1	$\frac{1}{\rho} + \frac{\pi}{a^2}, \quad \pi + au$
$\lambda_2 = u_l^* = u_r^l$	1	$\pi$
$\lambda_3 = u_r + \frac{a_r}{\rho_r}$	1	$\frac{1}{\rho} + \frac{\pi}{a^2}, \quad \pi - au$

$$u_l^* = u_r^* := u^*$$

$$(\pi + au)_l^* = (\pi + au)_l$$

$$\left(\frac{1}{\rho} + \frac{\pi}{a^2}\right)_l^* = \left(\frac{1}{\rho} + \frac{\pi}{a^2}\right)_l$$

$$\pi_l^* = \pi_r^* := \pi^*$$

$$(\pi - au)_r^* = (\pi - au)_r$$

$$\left(\frac{1}{\rho} + \frac{\pi}{a^2}\right)_r^* = \left(\frac{1}{\rho} + \frac{\pi}{a^2}\right)_r$$

$$\pi^* + a_l u^* = \pi_l + a_l u_l$$

$$\pi^* + a_r u^* = \pi_r + a_r u_r$$

on en déduit  $\pi^*$  et  $u^*$ , puis  $1/\rho_l^*$ ,  $1/\rho_r^*$ .



# Relaxation type Suliciu pour le système nonconservatif MHD biT

## Système MHD bi-température

$$\partial_t \rho + u_1 \partial_x \rho + \rho \partial_x u_1 = 0,$$

$$\partial_t u_1 + u_1 \partial_x u_1 + \rho^{-1} \partial_x (\rho_e + \rho_i + B_3^2/2) = 0,$$

$$\partial_t u_2 + u_1 \partial_x u_2 = 0,$$

$$\partial_t B_3 + B_3 \partial_x u_1 + u_1 \partial_x B_3 = 0,$$

$$\partial_t \varepsilon_e + u_1 \partial_x \varepsilon_e + \rho_e^{-1} \rho_e \partial_x u_1 = 0,$$

$$\partial_t \varepsilon_i + u_1 \partial_x \varepsilon_i + \rho_i^{-1} \rho_i \partial_x u_1 = 0.$$

## Équation sur $\rho_e$ et $\rho_i$

$$\partial_t \rho_e + u_1 \partial_x \rho_e + \gamma_e \rho_e \partial_x u_1 = 0,$$

$$\partial_t \rho_i + u_1 \partial_x \rho_i + \gamma_i \rho_i \partial_x u_1 = 0,$$

## Système non linéairement dégénéré

$$u; u \pm \sqrt{\rho^{-2}(\gamma_e \rho \rho_e + \gamma_i \rho \rho_i + \rho B_3^2)}$$

## Système de relaxation

Nouvelles variables  $\pi_e$  et  $\pi_i$

$$\partial_t \rho + u_1 \partial_x \rho + \rho \partial_x u_1 = 0,$$

$$\partial_t u_1 + u_1 \partial_x u_1 + \rho^{-1} \partial_x (\pi_e + \pi_i + B_3^2/2) = 0,$$

$$\partial_t u_2 + u_1 \partial_x u_2 = 0,$$

$$\partial_t B_3 + B_3 \partial_x u_1 + u_1 \partial_x B_3 = 0,$$

$$\partial_t \varepsilon_e + u_1 \partial_x \varepsilon_e + \rho_e^{-1} \pi_e \partial_x u_1 = 0,$$

$$\partial_t \varepsilon_i + u_1 \partial_x \varepsilon_i + \rho_i^{-1} \pi_i \partial_x u_1 = 0,$$

## Définition de $\pi_e$ et $\pi_i$

$$\partial_t \pi_e + u_1 \partial_x \pi_e + \frac{c_e}{\rho} (a^2 - \rho B_3^2) \partial_x u_1 = 0,$$

$$\partial_t \pi_i + u_1 \partial_x \pi_i + \frac{c_i}{\rho} (a^2 - \rho B_3^2) \partial_x u_1 = 0.$$

## Système linéairement dégénéré

$$u; u \pm \sqrt{\rho^{-2} a^2}$$

# Résolution pb de Riemann

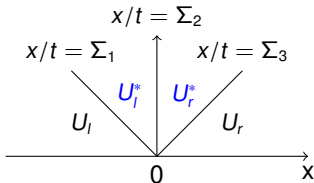
$$V = (\rho, u_l, \varepsilon_e, \varepsilon_i, B_3, \pi_e, \pi_i) \in \mathbb{R}^7$$

Valeurs propres	Mult.	Invariants de Riemann
$\lambda_1 = u_l - \frac{a_l}{\rho_l}$	1	$B_3/\rho, w_{1,e}, w_{1,i}, w_{2,e}, w_{2,i}$
$\lambda_2 = u_l^* = u_r^r$	5	$\pi_e + \pi_i + B_3^2/2$
$\lambda_3 = u_r + \frac{a_r}{\rho_r}$	1	$B_3/\rho, w_{1,e}, w_{1,i}, w_{2,e}, w_{2,i}$

avec

$$w_{1,\alpha} = \pi_\alpha + c_\alpha B_3^2/2 + \frac{a^2 c_\alpha}{\rho}, \quad w_{2,\alpha} = \varepsilon_\alpha + \frac{B_3^2}{2\rho} - \frac{(\pi_\alpha + c_\alpha B_3^2/2)^2}{2(c_\alpha a)^2}.$$

On résout explicitement les états intermédiaires.



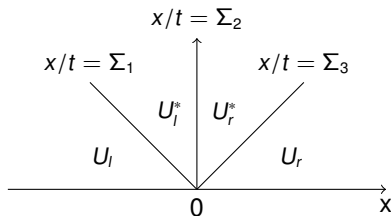
# Produit non-conservatif

On remarque que

$$c_i w_1 - c_e w_2 = c_i \pi_e - c_e \pi_i$$

Donc  $c_i \pi_e - c_e \pi_i$  est un invariant de Riemann pour les discontinuités extrêmes.

Donc le produit nonconservatif  $u \partial_x (c_i \pi_e - c_e \pi_i)$  est bien défini



# Robustesse du schéma

**Domaine convexe** d'admissibilité

$$\Omega = \{(\rho, \rho u, B_3, \widetilde{\mathcal{E}}_e, \widetilde{\mathcal{E}}_i) \in \mathbb{R}^5, \rho \geq 0, \epsilon_e \geq 0, \epsilon_i \geq 0\}$$

$U_i^{n+1}$  est une **combinaison convexe** des états intermédiaires.

Condition suffisante

$$U_l^*, U_r^* \in \Omega.$$

**condition sous-caractéristique** sur la vitesse de relaxation speed  $a$

$$a^2 \geq \rho B_3^2 + \rho \max(a_e^2, a_i^2), \quad a_\alpha = \sqrt{\frac{\gamma_\alpha p_\alpha}{\rho_\alpha}}$$

implique  $\rho_l^* \geq 0, \rho_r^* \geq 0$ .

$$a \geq \max\left(\frac{|\pi_e + c_e B_3^2/2|}{2c_e \sqrt{\epsilon_e}}, \frac{|\pi_i + c_i B_3^2/2|}{2c_i \sqrt{\epsilon_i}}\right)$$

implique  $\epsilon_{i,l}^* \geq 0, \epsilon_{e,l}^* \geq 0, \epsilon_{i,r}^* \geq 0, \epsilon_{e,r}^* \geq 0$ .

Inégalité d'entropie

$$\partial_t \eta(U) + \partial_x G(U) \leq 0$$

MHD bitempérature

$$\eta(U) = -\rho c_e s_e - \rho c_i s_i$$

$$s_e = \ln\left(\frac{p_e}{\rho_e^\gamma}\right), \quad s_i = \ln\left(\frac{p_i}{\rho_i^\gamma}\right),$$

$$G(U) = u_1 \eta(U)$$

**Résultat** : Inégalité d'entropie discrète

$$\frac{1}{\Delta t} (\eta(U_i^{n+1}) - \eta(U_i^n)) + \frac{1}{\Delta x} (G(U_i^n, U_{i+1}^n) - G(U_{i-1}^n, U_i^n)) \leq 0$$

avec flux d'entropie numérique satisfaisant  $G(U, U) = G(U)$ .

Inégalité de Jensen :

$$\begin{aligned}\eta(U_i^{n+1}) &\leq \frac{1}{\Delta x} \int_0^{\Delta x/2} \eta(R(x/\Delta t, U_{i-1}, U_i)) dx \\ &\quad + \frac{1}{\Delta x} \int_{-\Delta x/2}^0 \eta(R(x/\Delta t, U_i, U_{i+1})) dx \\ &= \eta(U_i^n) - \frac{\Delta t}{\Delta x} (G_l(U_i, U_{i+1}) - G_r(U_{i-1}, U_i))\end{aligned}$$

On dit que le solveur est entropique si

$$G_r(U_l, U_r) \leq G_l(U_l, U_r).$$

Dans ce cas pour tout flux numérique  $G(U_l, U_r)$  tel que

$$G_r(U_l, U_r) \leq G(U_l, U_r) \leq G_l(U_l, U_r),$$

le schéma vérifie une inégalité d'entropie discrète.

# Entropie étendue pour les modèles de relaxation

On dit que  $\mathcal{H}(U)$  est une entropie étendue de  $\eta(U)$  s'il existe  $\mathcal{G}(U)$  telle que

$$\mathcal{G}'(U) = \mathcal{H}'(U)\mathcal{A}'(U)$$

$$\mathcal{H}(M(U)) = \eta(U)$$

$$\mathcal{G}(M(U)) = G(U)$$

Principe du minimum d'entropie

$$\mathcal{H}(M(U)) \leq \mathcal{H}(f), \quad \forall U = Lf$$

## Propriété :

Soit  $\mathcal{H}$  une entropie étendue de  $\eta$ ,

$\mathcal{R}$  solveur du système de relaxation,

$R = L\mathcal{R}(\cdot, M(U_l), M(U_r))$  solveur du système de départ

Si  $\mathcal{R}$  est  $\mathcal{H}$  - entropique  $(\mathcal{G}_r - \mathcal{G}_l \leq 0)$

Alors  $R$  est  $\eta$  - entropique  $(G_r - G_l \leq 0)$ .

- 1994, [Chen, Levermore, Liu]
- 1999, 2004, [Bouchut]
- 2011, [Bouchut, Klingenberg, Waagan]
- 2012, 2015, [Berthon, Dubroca, Sangam]
- 2013, [Bouchut, Boyaval]
- 2016 [Bouchut, L]



## Etapas de la preuve

- condition sous-caractéristique suffisante pour effectuer localement un changement de variable sur les invariants de Riemann

$$\varphi_e(\tau, \varepsilon_e, B_3, \pi) = \pi + c_e B_3^2/2 + a^2 c_e \tau$$

$$\phi_e(\tau, \varepsilon_e, B_3, \pi) = \varepsilon_e + \tau B_3^2/2 - \frac{(\pi + c_e B_3^2/2)^2}{2(c_e a)^2}$$

$$\psi_e(\tau, \varepsilon_e, B_3, \pi) = \tau B_3$$

- ce changement de variable permet de prouver l'existence d'une entropie étendue

$$\max_{\pi \in \mathbb{R}} \mathcal{S}_\alpha(\phi(\Sigma), \varphi(\Sigma), \psi(\Sigma)) = \mathcal{S}_\alpha(\phi(\Sigma), \varphi(\Sigma), \psi(\Sigma))|_{\pi=\rho_\alpha(\tau, \varepsilon_\alpha)} = \mathbf{s}_\alpha(\tau, \varepsilon_\alpha).$$

# Preuve d'inégalité d'entropie pour la MHD biT

Sous condition sous-caractérique, on peut définir

$$S(\Sigma) = s_\alpha(\bar{\tau}(\phi(\Sigma), \varphi(\Sigma), \psi(\Sigma)), \bar{\varepsilon}_\alpha(\phi(\Sigma), \varphi(\Sigma), \psi(\Sigma))),$$

avec  $\bar{\tau}(\phi(\Sigma), \varphi(\Sigma), \psi(\Sigma))|_{\pi=p(\tau, \varepsilon_\alpha)} = \tau$  et  $\bar{\varepsilon}_\alpha(\phi(\Sigma), \varphi(\Sigma), \psi(\Sigma))|_{\pi=p(\tau, \varepsilon_\alpha)} = \varepsilon_\alpha$ ,

On veut montrer que  $\pi \mapsto \frac{\partial S}{\partial \pi}(\Sigma)$  admet un unique maximum en  $\pi = p$ .

Après quelques calculs, on obtient

$$\frac{\partial S}{\partial \pi}(\Sigma) = \frac{(p_\alpha(\bar{\tau}, \bar{\varepsilon}_\alpha) + \bar{B}_3^2/2) - (\pi + B_3^2/2)}{a^2 \bar{\varepsilon}_\alpha},$$

On obtient donc bien que  $\pi = p$  est un extremum. Est-il l'unique maximum ?

Oui et pour le vérifier on dérive une deuxième fois !

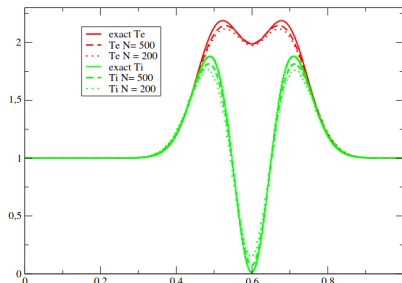
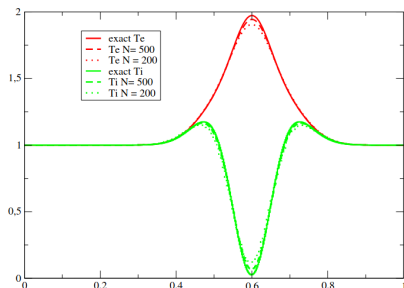
# Tests numériques

# Test avec solution régulière analytique

## Conditions initiales

$$\begin{aligned}\rho(x, 0) &= 1, & u_1(x, 0) &= 10, \\ T_e(x, 0) &= 1 + \exp(-200(x - 1/2)^2), & T_i(x, 0) &= 2 - T_e(x, 0), \\ B_3(x, 0) &= \exp(-50(x - 1/2)^2).\end{aligned}$$

Résultats au temps  $t = 0.5$ .



## Référence pour Euler mono-température conservatif

E. Toro, *Riemann Solvers and Numerical Methods for Fluid Dynamics : A Practical Introduction*, 1997.

## Nouveaux cas tests bitempérature nonconservatif

Test	$\rho$	$u$	$B_3$	$T_e$	$T_i$
Test 1 left	1	0.75	0.8164966	0.3336667	0.3336667
Test 1 right	0.125	0	0.2581989	0.2669333	0.2669333
Test 2 left	1	-2	0.5163978	0.1334667	0.1334667
Test 2 right	1	2	0.5163978	0.1334667	0.1334667
Test 3 left	1	0	14.142136	100.10000	100.1
Test 3 right	1	0	0.2581989	0.0333667	0.0333667
Test 4 left	5.9999924	19.5975	17.528909	25.630859	25.630860
Test 4 right	5.9999242	-6.19633	5.5434646	2.5634264	2.5634266
Test 5 left	1	-19.5975	8.1649658	33.366665	33.366667
Test 5 right	1	-19.5975	0.2581989	0.0333667	0.0333667
Test 6 left	1.4	0	0.8164966	0.2383333	0.2383333
Test 6 right	1	0	0.8164966	0.3336667	0.3336667
Test 7 left	1.4	0.1	0.8164966	0.2383333	0.2383333
Test 7 right	1	0.1	0.8164966	0.3336667	0.3336667

Les termes non-conservatifs s'écrivent

$$u \partial_x (c_i p_e - c_e p_i)$$

Schéma HLL non conservatif (ncHLL)

HLL partie flux conservatif + approximation terme NC avec  $u = cst$  sur chaque maille.

$$F_l^{\mathcal{E}_e}(U_l, U_r) = F_{HLL}^{\mathcal{E}_e}(U_l, U_r) - u_r(\phi_r - \phi_l)$$

$$F_r^{\mathcal{E}_e}(U_l, U_r) = F_{HLL}^{\mathcal{E}_e}(U_l, U_r) - u_l(\phi_r - \phi_l)$$

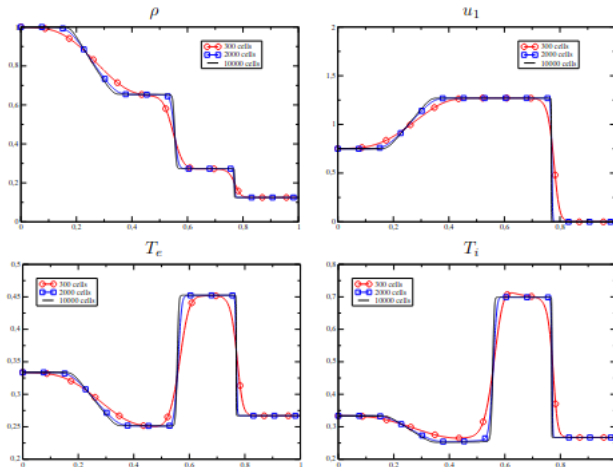
avec  $\phi = c_i p_e - c_e p_i$ .

# Comparaison Suliciu et ncHLL

Est-ce que le code renvoie un résultat, sur un maillage 1D assez grossier  $N = 300$  ?

	Suliciu	ncHLL
Test 1	✓	✓
Test 2	✓	∅
Test 3	✓	✓
Test 4	✓	✓
Test 5	✓	∅
Test 6	✓	✓
Test 7	✓	✓

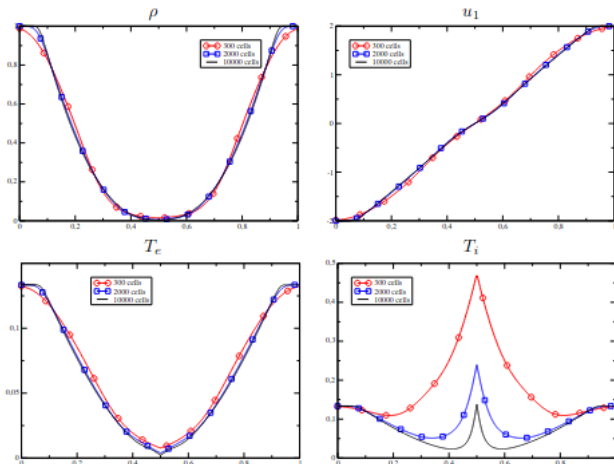
# Test 1 Suliciu



right shock wave, a right travelling contact and a left sonic rarefaction wave

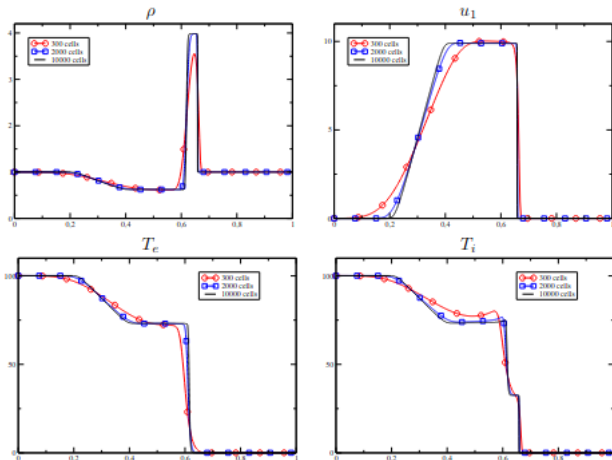


# Test 2 Suliciu



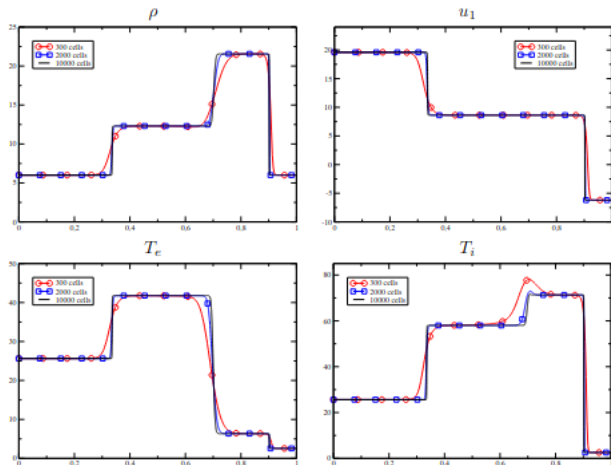
two symmetric rarefaction waves travelling in opposite direction and a trivial contact wave

# Test 3 Suliciu



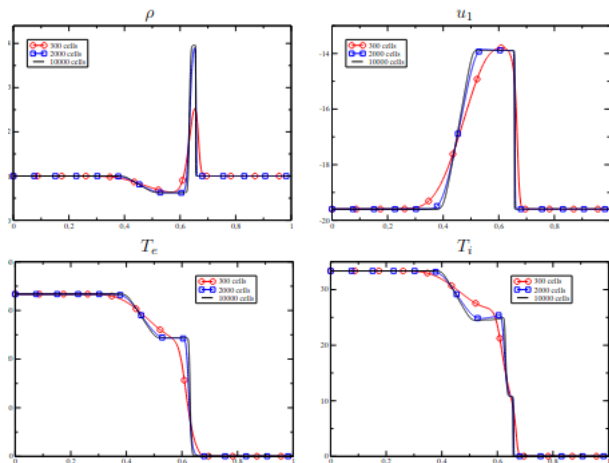
a strong wave of shock, a contact surface and a left rarefaction wave

# Test 4 Suliciu



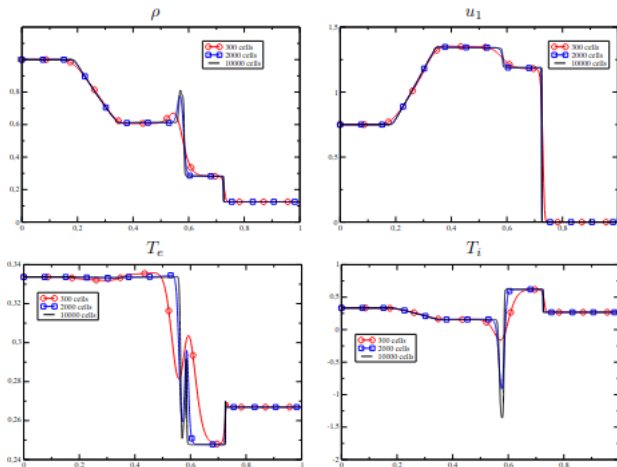
three strong discontinuities travelling to the right

# Test 5 Suliciu



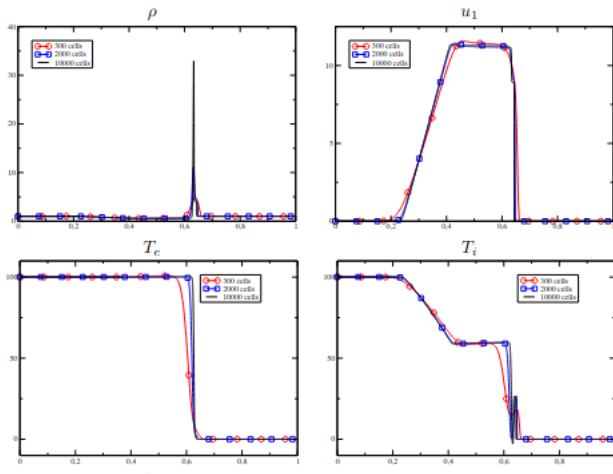
left rarefaction rarefaction wave, a right-travelling shock wave and a stationary contact discontinuity

# Test 1 ncHLL



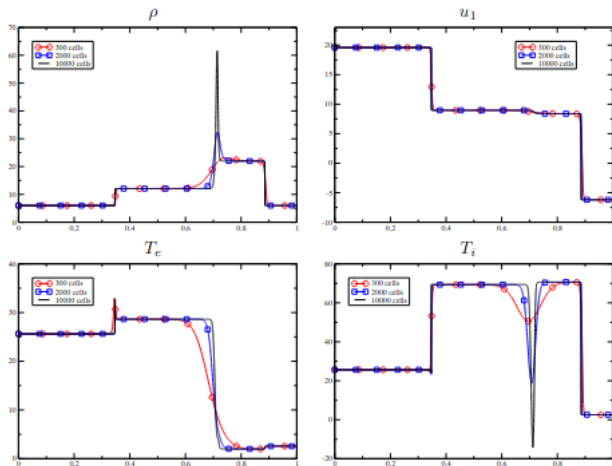
right shock wave, a right travelling contact and a left sonic rarefaction wave

# Test 3 ncHLL



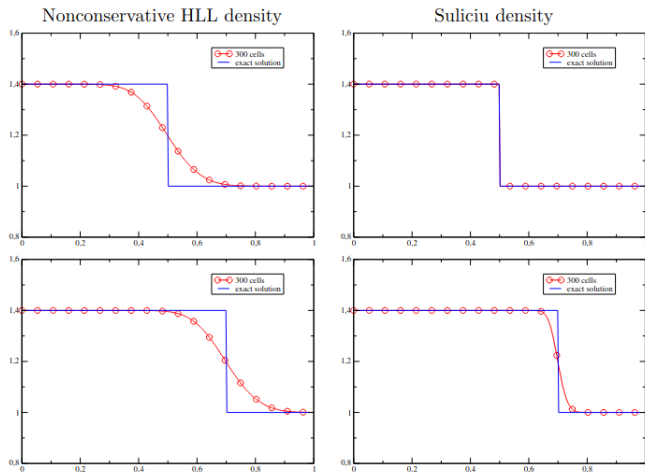
a right strong wave of shock, a right contact surface and a left rarefaction wave

# Test 4 ncHLL



three strong discontinuities travelling to the right

# Test 6 et 7 Suliciu et ncHLL



On the left, test 6 is an isolated stationary contact wave.

On the right, test 7 is an isolated contact moving slowly to the right.



- A partir d'un **modèle cinétique conservatif** couplé aux équations de Maxwell, on obtient par limite hydrodynamique un **modèle MHD bi-température non-conservatif**.
- Construction d'un **schéma volumes finis** grâce à la résolution d'un **système de relaxation LD**.  
Pour ce système de relaxation les produits non-conservatifs deviennent bien définis.
- Sous conditions CFL sous-caractéristiques
  - le schéma préserve la **positivité** des densités et des énergies internes électroniques et ioniques
  - le schéma satisfait une **inégalité d'entropie discrète**.
- Comparaison avec une discrétisation nc HLL
  - si le schéma **positif entropique**, observe **CV numérique**,
  - si le schéma **n'est pas positif entropique**, **pas de CV numérique**.

**MERCI POUR VOTRE  
ATTENTION!**